

Э. О. Чухаджян, А. А. Хачатрян, А. Р. Геворкян, Г. А. Паносян^a

**СИНТЕЗ И ВНУТРИМОЛЕКУЛЯРНАЯ РЕЦИКЛИЗАЦИЯ
2,2-ДИАЛКИЛ-4-ГИДРОКСИМЕТИЛ-6-ХЛОРБЕНЗ[*f*]-
ИЗОИНДОЛИНИЕВЫХ СОЛЕЙ**

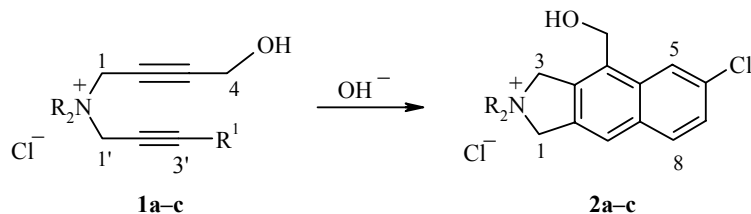
Осуществлена внутримолекулярная циклизация хлоридов диалкил(4-гидрокси-2-бутинил)[3-(*n*-хлорфенил)пропаргил]аммония, катализируемая водным KOH. Показано, что полученные продукты — хлориды 2,2-диалкил-4-гидроксиметил-6-хлорбенз[*f*]изоиндолиния под действием двукратного молярного количества KOH в водном растворе при нагревании легко рециклируются с образованием 4-диалкиламинометил-8-хлор-1,3-дигидронапто[1,2-*c*]-фuranов.

Ключевые слова: диалкил(4-гидрокси-2-бутинил)[3-(*n*-хлорфенил)пропаргил]аммониевые соли, 2,2-диалкил-4-гидроксиметил-6-хлорбенз[*f*]изоиндолиниеевые соли, основной катализ, рециклизация, циклизация.

Диалкил(4-гидрокси-2-бутинил)(3-R¹-пропаргил)аммониевые соли (R¹ = Ph, винил или изопропенил) в присутствии 0.2 моль водной KOH на 1 моль исходной соли циклизуются, образуя 2,2-диалкил-4-гидроксиметилизоиндолиниеевые и -бенз[*f*]изоиндолиниеевые соли [1–3].

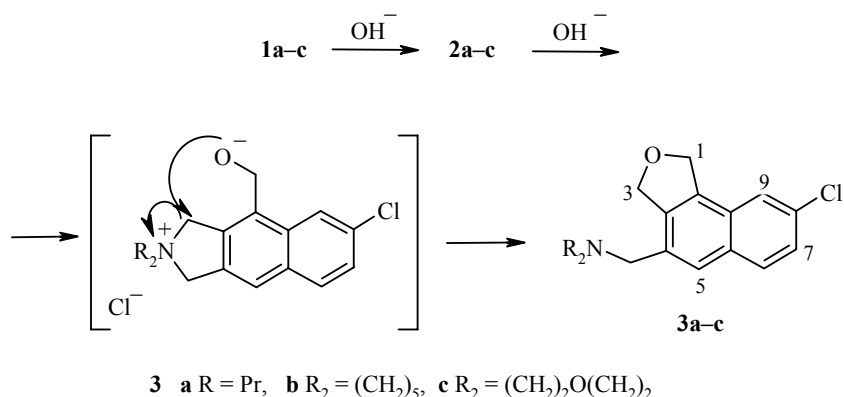
При изучении вопроса устойчивости указанных выше солей в условиях водно-щелочного расщепления нами обнаружена внутримолекулярная рециклизация, включающая стадии разрыва изоиндолиневого цикла под действием алcoxи-аниона, образующегося в щелочной среде, и формирования дигидрофuranового кольца [2–5]. Установлено, что увеличение числа ароматических колец и наличие метильного заместителя в бензольном кольце облегчают процесс рециклизации. Так, для рециклизации бензо-[5,6;5',6'-*a,c*]ди[2,2-диалкил-4-гидроксиметил]изоиндолиния требуется нагревание реакционной массы всего лишь 40–60 мин [5].

Для дальнейшего выяснения влияния строения исходных солей на их циклизацию и последующую рециклизацию образующихся продуктов, а также с целью получения новых потенциально активных производных изоиндолиния нами изучено поведение хлоридов диалкил(4-гидрокси-2-бутинил)[3-(*n*-хлорфенил)пропаргил]аммония **1a–c** и продуктов их циклизации **2a–c** в условиях основного катализа и водно-щелочного расщепления соответственно.



1a–c R¹ = C₆H₄Cl-*p*, **1**, **2** **a** R = Pr, **b** R₂ = (CH₂)₅, **c** R₂ = (CH₂)₂O(CH₂)₂

Соли **1a–c**, как и их ранее изученные аналоги ($R = Ph$, винил или изопропенил), в присутствии 0.2 моль водного KOH на 1 моль взятой соли после предварительного нагревания до 50–55 °C легко циклизуются (экзотермическая реакция), образуя хлориды 2,2-диалкил-4-гидроксиметил-6-хлорбенз[*f*]изоиндолиния **2a–c** с выходами 60–65%. При этом, как и ранее [2–5], с выходами 10–15% получаются также продукты рециклизации соединений **2a–c** – 4-диалкиламинометил-8-хлор-1,3-дигидронанфто-[1,2-*c*]фураны **3a–c**. Последние образуются с выходами 62–68% из солей **2a–c** под действием двукратного молярного количества KOH в водном растворе при нагревании (80–85 °C), а при последовательном проведении циклизации и рециклизации без выделения солей **2a–c** суммарные выходы аминов **3a–c** составляют 75–82% [2–4].



Превращение солей **2a–c** в амины **3a–c** происходит за 1.0–1.5 ч, в то время как для рециклизации изученных ранее 2,2-диалкил-4-гидроксимилизоиндолиниевых и -бенз[*f*]изоиндолиниевых солей требовалось 2.0–3.5 ч [2, 4]. Легкость рециклизации солей с заместителями в ароматическом кольце [3] и солей с фенантреновым циклом [5] по сравнению с 2,2-диалкил-4-гидроксиметилизоиндолиниевыми аналогами объясняется большей ароматичностью бензольного кольца.

Строение синтезированных соединений **1a–c** – **3a–c** подтверждают результаты элементного анализа (табл. 1, 2), данные спектров ЯМР 1H и ^{13}C (табл. 3–6), а также ИК и УФ спектров.

В ИК спектрах исходных солей **1a–c** имеются полосы поглощения в области 2220–2240 (дизамещенной ацетиленовой связи), 1030, 3100–3250 (группы OH), 1580, 1600, 3050 (ароматического кольца) и 810–840 cm^{-1} (*n*-замещенного бензольного кольца). В спектрах продуктов циклизации не наблюдается указанное выше поглощение дизамещенной ацетиленовой связи и *n*-замещенного бензольного кольца, но имеются полосы поглощения 1040, 1080, 3200–3500 (группы OH), 1580, 1600, 3130–3150 (ароматического кольца), 820 и 880 cm^{-1} (1,2,4- и пентазамещенных бензольных колец соответственно).

Т а б л и ц а 1

Физико-химические характеристики солей 1а–с и 2а–с

Соединение	Брутто-формула	Найдено, %		Т. пл., °C	Соединение*	Найдено, %		Т. пл., °C	Выход, %
		Cl	N			Cl	N		
1а	$C_{19}H_{25}Cl_2NO$	10.37	3.77	106–107	2а	10.34	3.69	—**	60
		10.03	3.95						
1б	$C_{18}H_{21}Cl_2NO$	13.49	5.50	175–176	2б	10.74	3.95	280–281	62
		13.29	5.25						
1с	$C_{17}H_{19}Cl_2NO_2$	10.37	3.77	200–202	2с	10.74	4.30	252–253	65
		10.03	3.95						

* Брутто-формулы солей 2а–с совпадают с брутто-формулами соответствующих исходных солей 1а–с.

** Соль не была получена в кристаллическом виде.

Т а б л и ц а 2

Физико-химические характеристики аминов 3а–с

Соединение	Брутто-формула	Найдено, %				Т. пл., °C	Т. пл. пикрата, °C	Т. пл. хлоргидр., °C	Выход, %
		C	H	Cl	N				
3а	$C_{19}H_{24}ClNO$	71.33 71.81	7.82 7.56	10.95 11.18	4.59 4.41	—*	190–192	171–172	75
3б	$C_{18}H_{20}ClNO$	71.21 71.64	6.88 6.63	12.04 11.77	4.42 4.64	84–85	191–192	251–252	78
3с	$C_{17}H_{18}ClNO_2$	67.70 67.22	5.61 5.93	12.05 11.70	4.38 4.61	160–161	208–209	214–216	82

* Т. кип. 180–182 °C (2 мм рт. ст.).

Т а б л и ц а 3

Спектры ЯМР ^1H солей 1а–с

Соеди- нение	Химические сдвиги, δ , м. д. (J , Гц)						R
	$\text{C}_{(1)}\text{H}_2$	$\text{C}_{(4)}\text{H}_2$	$\text{C}_{(1')}\text{H}_2, \text{c}$	OH, ш. с	$\text{C}_6\text{H}_4\text{Cl}-p$		
					2H- <i>o</i> , д	2H- <i>m</i> , д	
1а	4.63 (уш. т, $J = 1.9$)	4.17 (уш. с)	4.92	5.73	7.59 ($J = 8.5$)	7.38 ($J = 8.5$)	1.05 (6H, т, $J = 7.2$, 2CH ₃); 1.87 (4H, м, 2CH ₂ CH ₃); 3.58 (4H, м, 2NCH ₂)
1б	4.73 (уш. с)	4.18 (с)	5.00	5.60	7.62 ($J = 8.3$)	7.38 ($J = 8.3$)	1.73 (2H, м, N(CH ₂) ₂ CH ₂); 1.96 (4H, м, 2NCH ₂ CH ₂); 3.82 (4H, уш. т, $J = 5.5$, 2NCH ₂)
1с	4.83 (ш. т, $J = 1.9$)	4.18 (уш. с)	5.05	5.51	7.64 ($J = 8.5$)	7.43 ($J = 8.5$)	3.77 (4H, м, 2OCH ₂); 4.03 (4H, м, 2NCH ₂)

Т а б л и ц а 4

Спектры ЯМР ^1H солей 2б,с

Соеди- нение	Химические сдвиги, δ , м. д. (J , Гц)							R
	$\text{C}_{(1)}\text{H}_2, \text{c}$	$\text{C}_{(3)}\text{H}_2, \text{c}$	CH ₂ O	H-5, д	H-7, д. д	H-8	OH	
2б	5.07	5.25	4.93 (д, $J = 5.7$)	8.21 ($J = 2.1$)	7.59 ($J_1 = 8.8$, $J_2 = 2.1$)	8.03 (д, $J = 8.8$, 7.93 (уш. с))	5.81 (т, $J = 5.7$)	1.64 (2H, уш. кв, $J = 6.0$, N(CH ₂) ₂ CH ₂); 1.81– 2.01 (4H, м, 2NCH ₂ CH ₂); 3.60 (4H, т, $J = 5.7$, 2NCH ₂)
2с	5.20	5.38	4.94 (уш.)	8.22 ($J = 2.1$)	7.60 ($J_1 = 8.7$, $J_2 = 2.1$)	8.05 (д, $J = 8.7$), 7.95 (уш. с)	5.77 (ш. с)	3.70 (4H, т, $J = 4.8$, 2OCH ₂); 3.97–4.12 (4H, м, 2NCH ₂)

Таблица 5

Спектры ЯМР ^1H аминов 3a–c

Соединение	Химические сдвиги, δ , м. д. (J , Гц)							
	NCH ₂ , с	C ₍₁₎ H ₂ , т	C ₍₃₎ H ₂ , т	H-5, с	H-6, д	H-7, д. д	H-9 (δ , $J = 2.1$)	R
3a	3.59	5.23 ($J = 3.0$)	5.34 ($J = 3.0$)	7.61	7.81 ($J = 8.7$)	7.37 ($J_1 = 8.7, J_2 = 2.1$)	7.56	0.85 (6H, т, $J = 7.3, 2\text{CH}_3$); 1.47 (4H, секст, $J = 7.3, 2\text{CH}_2\text{CH}_3$); 2.36 (4H, т, $J = 7.3, 2\text{NCH}_2$)
3b	3.51	5.24 ($J = 3.0$)	5.35 ($J = 3.0$)	7.59	7.82 ($J = 8.8$)	7.38 ($J_1 = 8.8, J_2 = 2.1$)	7.57	1.45 (2H, м, $\text{N}(\text{CH}_2)_2\text{CH}_2$); 1.56 (4H, м, 2NCH_2); 2.37 (4H, т, $J = 5.1, 2\text{NCH}_2\text{CH}_2$)
3c	3.60	5.26 ($J = 1.0$)	5.36 ($J = 1.0$)	7.62	7.84 ($J = 8.8$)	7.39 ($J_1 = 8.8, J_2 = 2.1$)	7.58	2.41 (4H, м, 2NCH_2); 3.60 (4H, м, 2OCH_2)

Таблица 6

Спектр ЯМР ^{13}C солей 1b, 2b,c и аминов 3b,c

Соединение	Химические сдвиги, δ , м. д.
1b	19.29 (NCH ₂ CH ₂); 20.21 (N(CH ₂) ₂ CH ₂); 48.85 (NCH ₂ CH ₂); 49.88 (C ₍₁₎ и C _(1')); 57.10 (CH ₂ OH); 71.24 (C ₍₃₎); 77.82 (C _(3')); 89.22 (C ₍₂₎); 92.20 (C _(2')); 119.13 (C ₍₄₎); 128.21 (C ₍₆₎ и C _(8')); 133.26 (C ₍₅₎ и C ₍₇₎); 134.57 (C ₍₉₎)
2b	20.60 (N(CH ₂) ₂ CH ₂); 20.74 (NCH ₂ CH ₂); 57.90 (CH ₂ OH); 59.95 (NCH ₂ CH ₂); 66.35 (C ₍₃₎); 66.00 (C ₍₁₎); 121.88, 123.29, 126.73, 130.54, 130.98, 131.35, 131.70, 131.73, 131.76, 131.76 и 132.69 (Ar)
2c	20.60 (N(CH ₂) ₂ CH ₂); 20.74 (NCH ₂ CH ₂); 57.90 (CH ₂ OH); 59.95 (NCH ₂ CH ₂); 66.35 (C ₍₃₎); 66.00 (C ₍₁₎); 121.88, 123.29, 126.73, 130.54, 130.98, 131.35, 131.70, 131.73, 131.76, 131.76 и 132.69 (Ar)
3b	23.79 (N(CH ₂) ₂ CH ₂); 25.41 (NCH ₂ CH ₂); 53.87 (NCH ₂ CH ₂); 61.51 (NCH ₂ Ar); 72.08 и 73.47 (OCH ₂); 122.07, 125.68, 126.45, 126.84, 129.36, 130.76, 130.94, 133.90 и 137.46 (Ar)
3c	53.03 (NCH ₂ CH ₂); 61.22 (NCH ₂ Ar); 65.98 (OCH ₂ CH ₂); 72.12 и 73.42 (OCH ₂ Ar); 122.10, 125.80, 126.72, 126.92, 129.38, 130.47, 130.71, 131.12, 134.06 и 137.37 (Ar)

В ИК спектрах аминов **3а–с** наблюдается поглощение при 1580, 3000, 3040 (ароматического кольца), 1030, 1070 (группы CH_2OCH_2) и 830, 870 cm^{-1} (1,2,4- и пентазамещенных бензольных колец соответственно).

УФ спектры исходных солей **1а–с** имеют характерный для бензольного кольца максимум поглощения при 255 нм, который в спектрах циклических солей **2а–с** смещается в длинноволновую область (275, 285, 300 нм) в связи с наличием нафтилинового фрагмента.

ЭКСПЕРИМЕНТАЛЬНАЯ ЧАСТЬ

ИК спектры снимали на спектрометре UR-20 в таблетках KBr или в вазелиновом масле, УФ спектры – на спектрометре Specord UV-vis в этаноле. Спектры ЯМР ^1H и ^{13}C получали для растворов в $\text{DMCO-d}_6+\text{CCl}_4$ на спектрометре Varian Mercury-300 (300 и 75 МГц соответственно при температуре 30 °C (303 К)). Внутренний стандарт TMC. Чистоту солей **1а–с** и **2а–с** проверяли методом TCX на пластинках Silufol UV-254 в системе растворителей *n*-бутанол–этанол–вода–уксусная кислота, 8:2:3:1, проявление парами иода. Отнесение сигналов в спектрах ЯМР ^1H и ^{13}C солей **2а–с** и аминов **3а–с** проводили на основании двумерных спектров COSY, NOESY и HMQC. Исходные соли **1а–с** получали почти с количественными выходами взаимодействием в среде ацетонитрила соответствующих 1,1-диалкил-3-(*n*-хлорфенил)пропаргиламинов **4а–с** [6] с хроматографически чистым 4-гидрокси-1-хлор-2-бутином, синтезированным по известной методике [7].

Не описанный ранее **1,1-дипропил-3-(*n*-хлорфенил)пропаргиламин (4а)** получают взаимодействием 6.6 г (66 ммоль) дипропиламина, 2.1 г (70 ммоль) параформа, 9 г (66 ммоль) *p*-хлорфенилацетилена в 150 мл диоксана в присутствии 0.1 г хлорного железа и 0.1 г диацетата меди. Обычной обработкой [3] получают амин **4а**. Выход 64%. Т. кип. 125–126 °C (2 мм рт. ст.), т. пл. пикрата 153–155 °C (EtOH), т. пл. хлоргидрата 142–143 °C. Найдено, %: C 71.67; H 8.29; Cl 14.55; N 5.33. $\text{C}_{15}\text{H}_{20}\text{ClN}$. Вычислено, %: C 72.14; H 8.02; Cl 14.23; N 5.61.

Циклизация солей 1а–с. Хлориды 2,2-диалкил-4-гидроксиметил-6-хлорбенз[*f*]-изоиндолиния 2а–с (общая методика). К раствору 5.8–10.0 ммоль соли **1а–с** в 3–4 мл воды прибавляют 0.6–1.0 мл 2 н. раствора KOH (молярное соотношение соль–основание 5:1). Реакционную смесь нагревают до 50–55 °C и выдерживают 5–10 мин при этой температуре до начала экзотермической реакции. Далее нагрев прекращают, температура реакционной смеси самопроизвольно поднимается до 80–85 °C и затем постепенно снижается до комнатной. Остывшую реакционную массу экстрагируют (3 × 25 мл) смеси эфир–дихлорметан, 4:1, для удаления продуктов побочных реакций. В экстракте в каждом случае титрованием 0.1 н. H_2SO_4 обнаруживается 10–15% амина **3а–с**, пикрат которого не дает депрессии температуры плавления с пикратом амина **3а–с**, полученным в условиях рециклизации солей **2а–с** (см. ниже). В случае соли **1а** после экстракции водный раствор подкисляют соляной кислотой и досуха упаривают растворитель. Из остатка абсолютным этанолом экстрагируют соль **2а**, которую высаживают абсолютным эфиром и отфильтровывают. После циклизации соли **2б,с** выпадают в осадок и их отделяют фильтрованием.

Рециклизация солей 2а–с. 4-Диалкиламинометил-8-хлор-1,3-дигидронапто[1,2-*c*]-фураны 3а–с (общая методика). А. К раствору 5–8 ммоль соли **2а–с** в 3–5 мл воды прибавляют двукратное молярное количество KOH. Полученную смесь выдерживают в течение 1–1.5 ч при 80–85 °C. Остывшую реакционную массу экстрагируют (3 × 30 мл) смеси дихлорметан–эфир, 1:5. Экстракт промывают водой, высушивают MgSO_4 и упаривают. Остаток – амин **3б,с** перекристаллизовывают из смеси эфир–дихлорметан (3:3:1) или гексан–дихлорметан (2.5:1). Амин **3а** не кристаллизуется.

Б. Соли **1а–с** циклизуют в условиях основного катализа (см. выше), далее без выделения продуктов **2а–с** к реакционной массе прибавляют двукратное молярное количество KOH (на 1 моль соли **1**), растворенного в 2–3 мл воды, и полученную смесь выдерживают в течение 1–1.5 ч при 80–85 °C. Затем остывшую реакционную массу обрабатывают по методу А.

СПИСОК ЛИТЕРАТУРЫ

1. Э. О. Чухаджян, А. Р. Геворкян, Эл. О. Чухаджян, К. Г. Шахатуни, Ф. С. Киноян, Г. А. Паносян, *XGC*, 34 (2004). [*Chem. Heterocycl. Comp.*, **40**, 29 (2004)].
2. А. Р. Геворкян, Э. О. Чухаджян, Эл. О. Чухаджян, Г. А. Паносян, *XGC*, 212 (2004). [*Chem. Heterocycl. Comp.*, **40**, 177 (2004)].
3. Э. О. Чухаджян, М. К. Налбандян, Г. А. Паносян, *XGC*, 528 (2007).
4. E. O. Chuhajian, H. R. Gevorkyan, E. O. Chuhajian, K. G. Shahkhatuni, H. A. Panosyan, R. A. Tamazyan, *J. Heterocycl. Chem.*, **40**, 1059 (2003).
5. Э. О. Чухаджян, А. Р. Геворкян, А. А. Хачатрян, Эл. О. Чухаджян, Г. А. Паносян, *XGC*, 1329 (2006). [*Chem. Heterocycl. Comp.*, **42**, 1143 (2006)].
6. А. Т. Бабаян, Э. О. Чухаджян, Л. А. Манасян, *Арм. хим. журн.*, **31**, 489 (1978).
7. G. Dupont, R. Dulou, G. Lefebvre, *Bull. Soc. Chim. Fr.*, 816 (1954).

Институт органической химии НАН
Республики Армения, Ереван 375091
e-mail: hasulik4@mail.ru

Поступило 23.06.2006

^aЦентр исследования строения молекул НАН
Республики Армения, Ереван 375014
e-mail: henry@msrc.am